

強制流動沸騰系の熱伝達

強制流動系の沸騰熱伝達

流体、流路形状、液温を一定、流速を変える
非沸騰熱伝達、部分核沸騰 — — — 流速が大きいほど大きい

発達した核沸騰熱伝達 — — — 流速によらない
発達した核沸騰曲線と单相熱伝達の交点 q_g

発達した核沸騰になる熱流束 q_e $q_e = 1.4q_g$

核沸騰熱伝達を q_w と $T_w - T_s$ で表示

流速、サブクール度(液温)によらず一本の沸騰
曲線 — — — 沸騰は壁面近くの局所的な減少
が支配

加熱熱流束, q_w

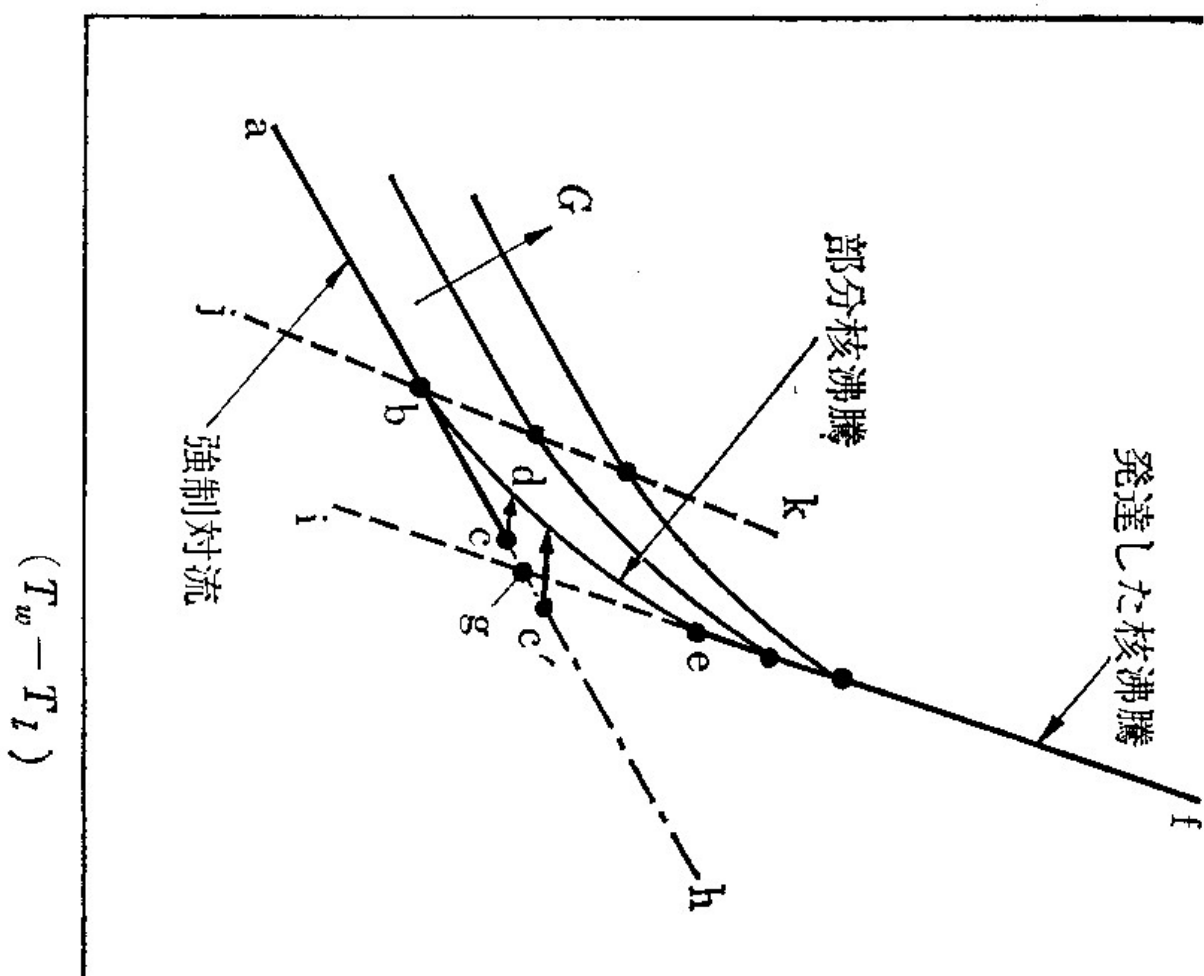


図 15.1 加熱熱流束と温度差

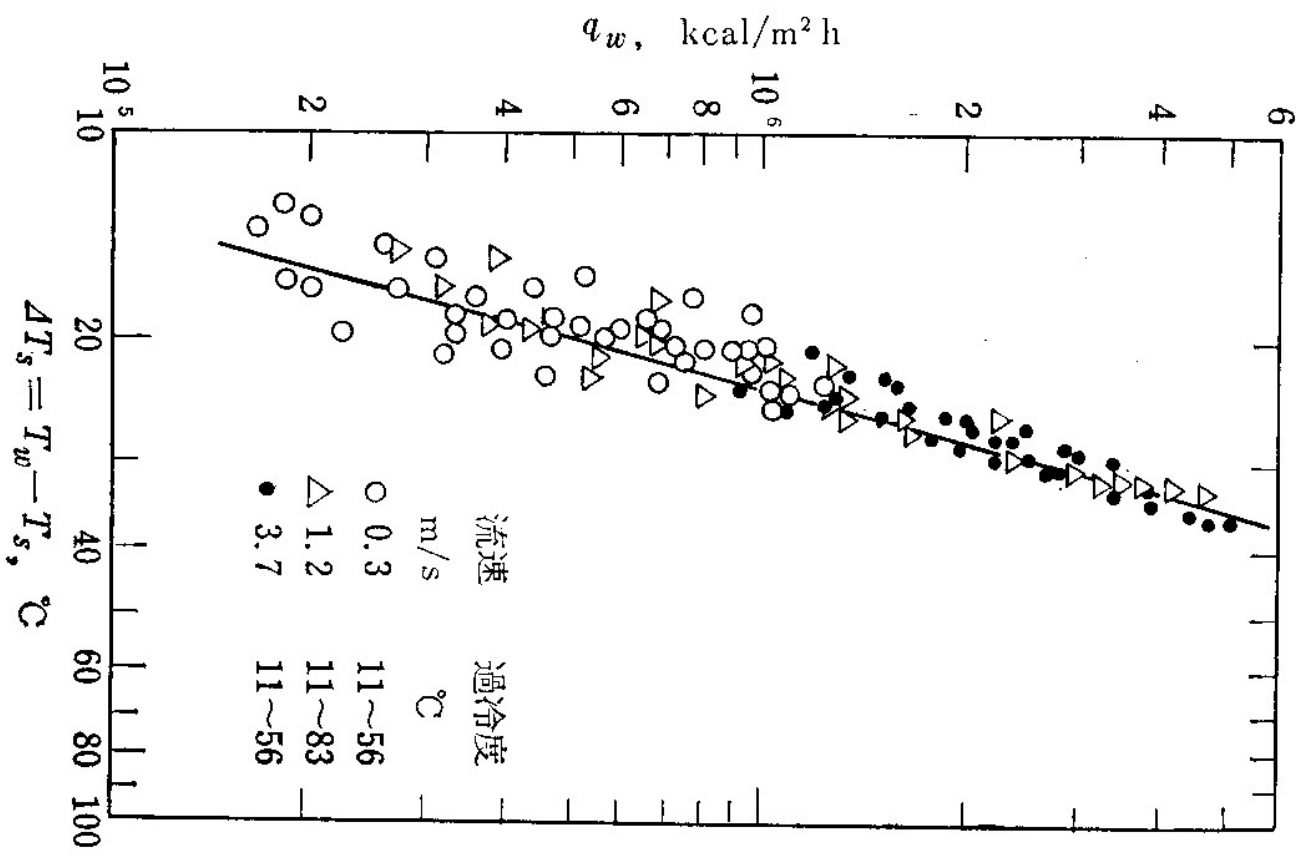


図 15.2 発達した核沸騰域の沸騰曲線 (McAdams)

部分核沸騰域の熱伝達

熱流束は壁面温度に対する单相の熱伝達による熱流束 q_{CON} と発達した核沸騰曲線の延長線から与えられる熱流束 q_{BO} の和

$$q_w = q_{\text{CON}} + q_{\text{BO}}$$

$$q_w = h_1(T_w - T_1)$$

核沸騰熱伝達係数はプール沸騰のものを用いてよい。

$$\frac{C_{pL}(T_w - T_L)}{L} = C_{sf} \left(\frac{q_w}{\mu_L L \sqrt{g(\rho_L - \rho_V)}} \right)^{0.33} \text{Pr}_L^s$$

水に対して $s = 1$ その他の液体に対して $s = 1.7$

$$C_{sf} = 0.003 \sim 0.020$$

部分核沸騰域の熱伝達

より精密な式

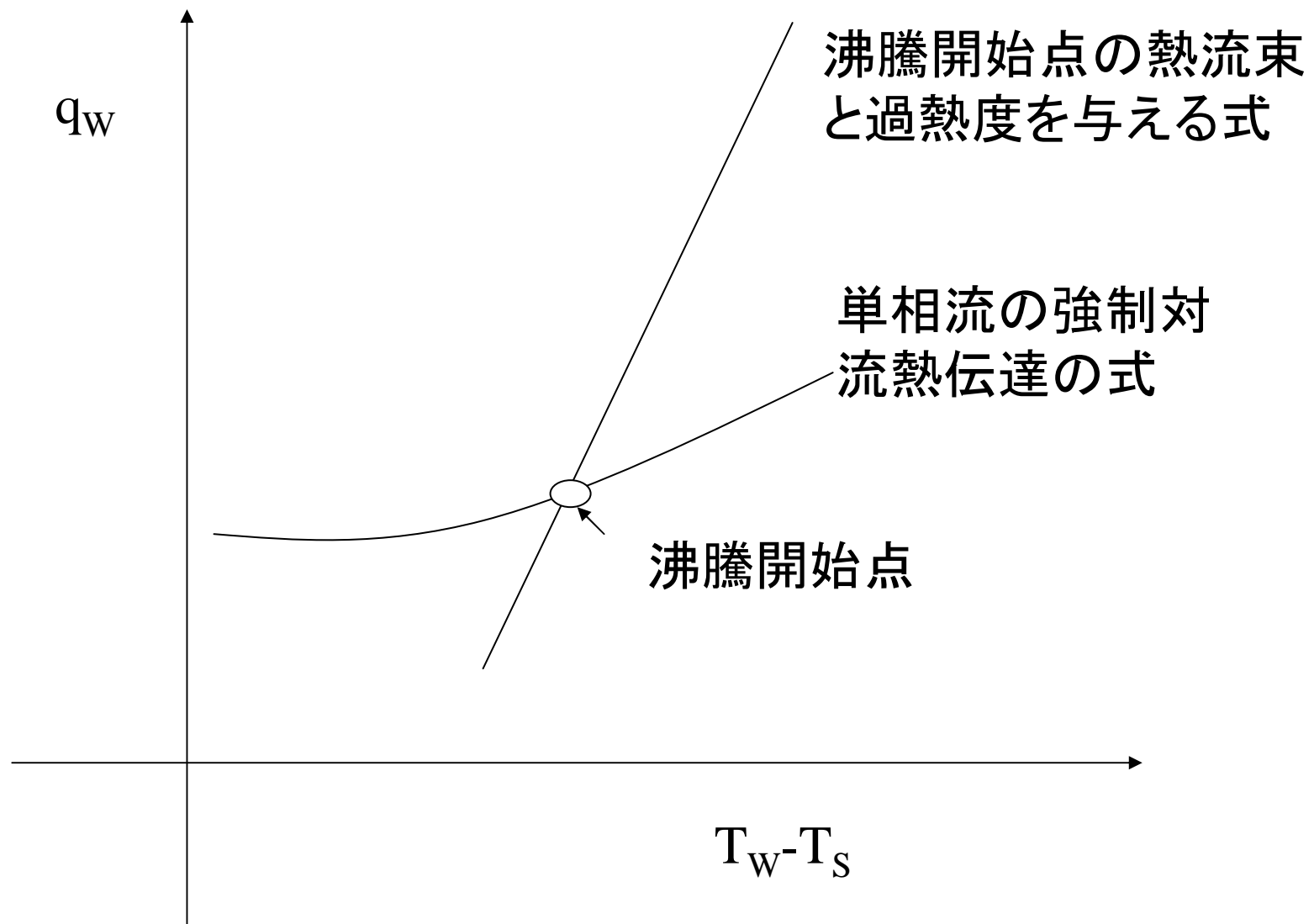
$$\frac{q_w}{q_{CON}} = \left[1 + \left\{ \frac{q_{BO}}{q_{CON}} \left(1 - \frac{q_{Bi}}{q_{BO}} \right) \right\}^2 \right]^{1/2}$$

q_{Bi} は沸騰開始点での壁温に対する、発達した核沸騰熱伝達の式による熱流束

$$q_{inc} = 15.60 p^{1.156} (T_w - T_s)_{inc}^{2.30/p^{0.0234}}$$

q : Btu / ft²h, p : psia, T : °F

$q_{BO} = q_{Bi}$ ならば $q_w = q_{CON}$ となる



発達した核沸騰の熱伝達

プール沸騰の核沸騰熱伝達の式がほぼ適用できる。

水については実験データに基づいたより精密な実験式が用いられる。

$$q_w = 1.95(T_w - T_s)^{3.86} \quad (\text{McAdams: } 2.1 \sim 6.3 \text{ ata})$$

q : kcal/m²h, p : ata, T : °C

$$T_w - T_s = \frac{0.82}{e^{p/63}} q_w^{1/4} \quad (\text{Jens-Lottes: } 35 \sim 140 \text{ ata})$$

$$T_w - T_s = \frac{0.024}{e^{p/88}} q_w^{1/2} \quad (\text{Thom})$$

強制対流蒸発域の熱伝達

クオリティーが高くなると核沸騰は終息
環状流、環状噴霧流

熱伝達は壁面近くの液膜を通じた対流と蒸発
強制対流熱伝達に類似したメカニズム
蒸気流速、液膜流速、液膜厚さに関係
蒸気クオリティーに大きく依存する

(核沸騰域では熱伝達係数はクオリティーに依存しない)

单相流の強制対流熱伝達との比を二相流のパラ
メータで整理 (Lockhart-Martinelliパラメータ)

Lockhart-Martinelliパラメータ

気液二相流の流動と伝熱現象

気相と液相の流量、物性値により複雑に変化
それらをひとまとめにした無次元パラメータ

Lockhart-Martinelliパラメータ X_{tt}

圧力損失や熱伝達係数がよく整理される

$$X_{tt} = \sqrt{(\Delta P / \Delta z)_L / (\Delta P / \Delta z)_G}$$

$(\Delta P / \Delta z)_L$, $(\Delta P / \Delta z)_G$: 液相、気相が単独で流路を流
れたとしたときの单相流の圧力損失

流れが気相、液相とも乱流の場合には

Lockhart-Martinelliパラメータ

流れが気相、液相とも乱流の場合には

$$\left(\frac{\Delta P}{\Delta z}\right)_L = \frac{2f_L}{D} \rho_1 U^2 = \frac{2f_L G_1^2}{D \rho_1} \quad \left(\frac{\Delta P}{\Delta z}\right)_G = \frac{2f_G}{D} \rho_g U_g^2 = \frac{2f_G G_g^2}{D \rho_g}$$

$$f_L = 0.046 \left(\frac{G_1 D}{\mu_1}\right)^{-0.2} \quad f_G = 0.046 \left(\frac{G_g D}{\mu_g}\right)^{-0.2}$$

これらを用いれば

$$X_{tt} = \left(\frac{G_1}{G_g}\right)^{0.9} \left(\frac{\rho_g}{\rho_1}\right)^{0.5} \left(\frac{\mu_1}{\mu_g}\right)^{0.1} = \left(\frac{1-x}{x}\right)^{0.9} \left(\frac{\rho_g}{\rho_1}\right)^{0.5} \left(\frac{\mu_1}{\mu_g}\right)^{0.1}$$

気液二相流の圧力損失や熱伝達係数はこのパラメータを用いた相関式として与えられる場合が多い

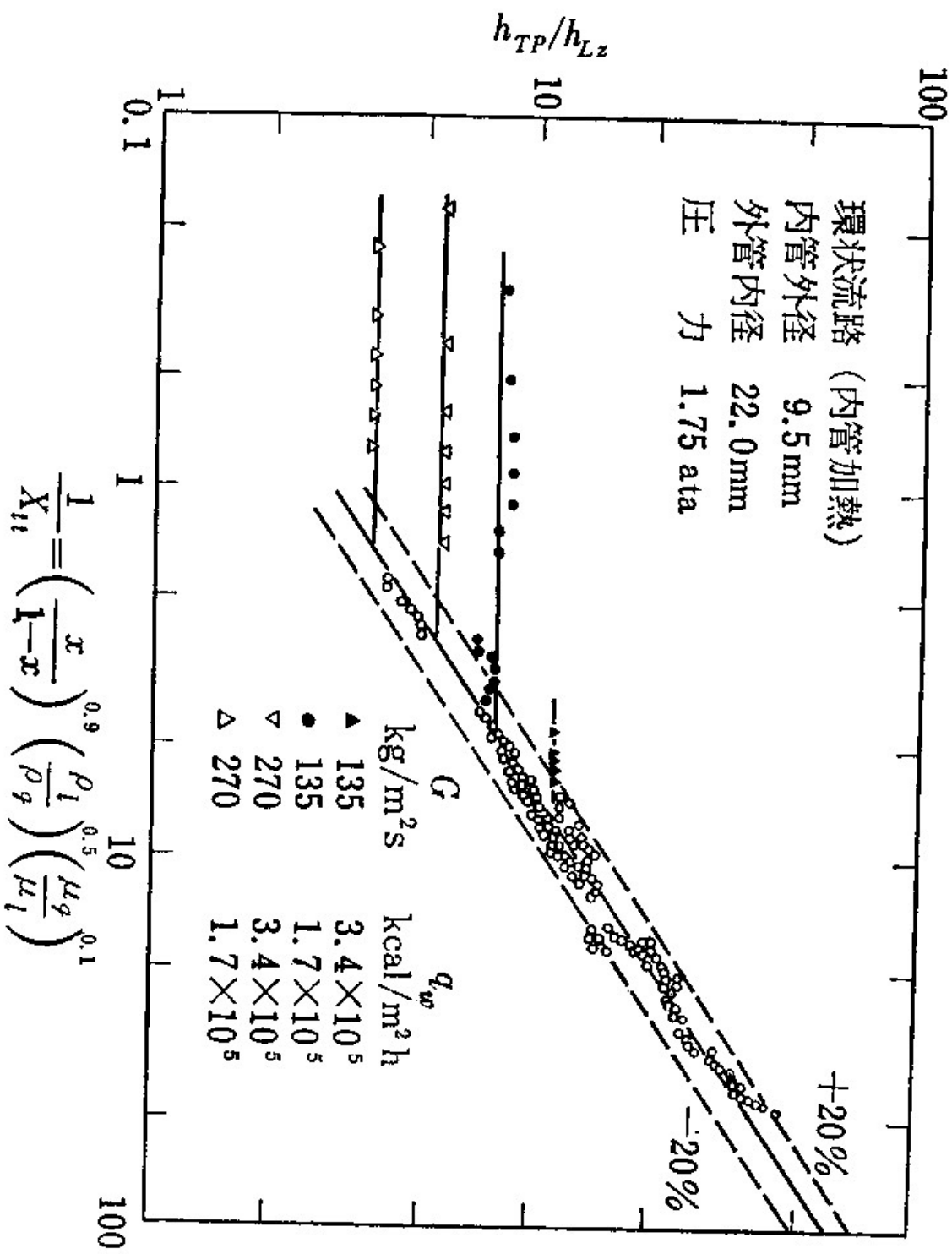


図 15.4 飽和沸騰における伝熱様式の変化 (COLLIER 5)

強制対流蒸発域の熱伝達

強制流動沸騰熱伝達係数 h_{TP}

強制対流単相熱伝達係数 h_{Lz} , h_{L0}

液相のみが流路を満たして流れるとした熱伝達係数

$$h_{Lz} = 0.023 \frac{k_1}{D} \left(\frac{G(1-x)D}{\mu_1} \right)^{0.8} \left(\frac{c_{pl}\mu_1}{k_1} \right)^{0.4}$$

蒸気、液全量が液体として流れた場合の熱伝達係数

$$h_{L0} = 0.023 \frac{k_1}{D} \left(\frac{GD}{\mu_1} \right)^{0.8} \left(\frac{c_{pl}\mu_1}{k_1} \right)^{0.4}$$

$$\frac{h_{TP}}{h_{Lz}} = A \left(\frac{1}{X_{tt}} \right)^n$$

$$\frac{h_{TP}}{h_{L0}} = A' \left(\frac{1}{X_{tt}} \right)^{n'}$$

表 15.1 強制対流蒸発域の熱伝達率相関式

著 者	相 関 式	流体および流路系
GUERRIERI-TALTY ¹¹⁾ (1956)	$\frac{h_{TP}}{h_{Lz}} = 3.4 \left(\frac{1}{X_{ii}} \right)^{0.45}$	有機媒体 (メタノール, ヘキサ ン, ペンゼンなど), 管内上昇流
SCHROCK-GROSSMAN ¹²⁾ (1959)	$\frac{h_{TP}}{h_{Lz}} = 2.5 \left(\frac{1}{X_{ii}} \right)^{0.75}$	水, $p=3\sim 35$ ata, 管内上昇流
WRIGHT ¹³⁾ (1961)	$\frac{h_{TP}}{h_{Lz}} = 2.72 \left(\frac{1}{X_{ii}} \right)^{0.58}$	水, $p=1\sim 5$ ata, 管内下降流
BENNETT et al. ¹⁴⁾ COLLIER et al. ¹⁰⁾ (1961), (1964)	$\frac{h_{TP}}{h_{Lz}} = 2.17 \left(\frac{1}{X_{ii}} \right)^{0.70}$ ただし, $T_i = T_s + 0.33 \Delta T_s$	水, $p=1\sim 5.6$ ata, 環状流路上 昇流, 内管加熱
DENGLER-ADDOMS ¹⁵⁾ (1956)	$\frac{h_{TP}}{h_{L0}} = 3.5 \left(\frac{1}{X_{ii}} \right)^{0.50}$	水, $p=0.6\sim 2.8$ ata, 管内上昇 流
PUJOL-STENNING ¹⁶⁾ (1969)	$\frac{h_{TP}}{h_{L0}} = 4.0 \left(\frac{1}{X_{ii}} \right)^{0.37}$	R-113 管内上昇および下降流

強制対流蒸発域の熱伝達

核沸騰域と強制対流蒸発域を分けて式を与えるのは不便

二つの領域を一つの式で与える
ボイリング数 Bo を導入する

$$Bo \equiv \frac{q_w}{GH_{fg}}$$

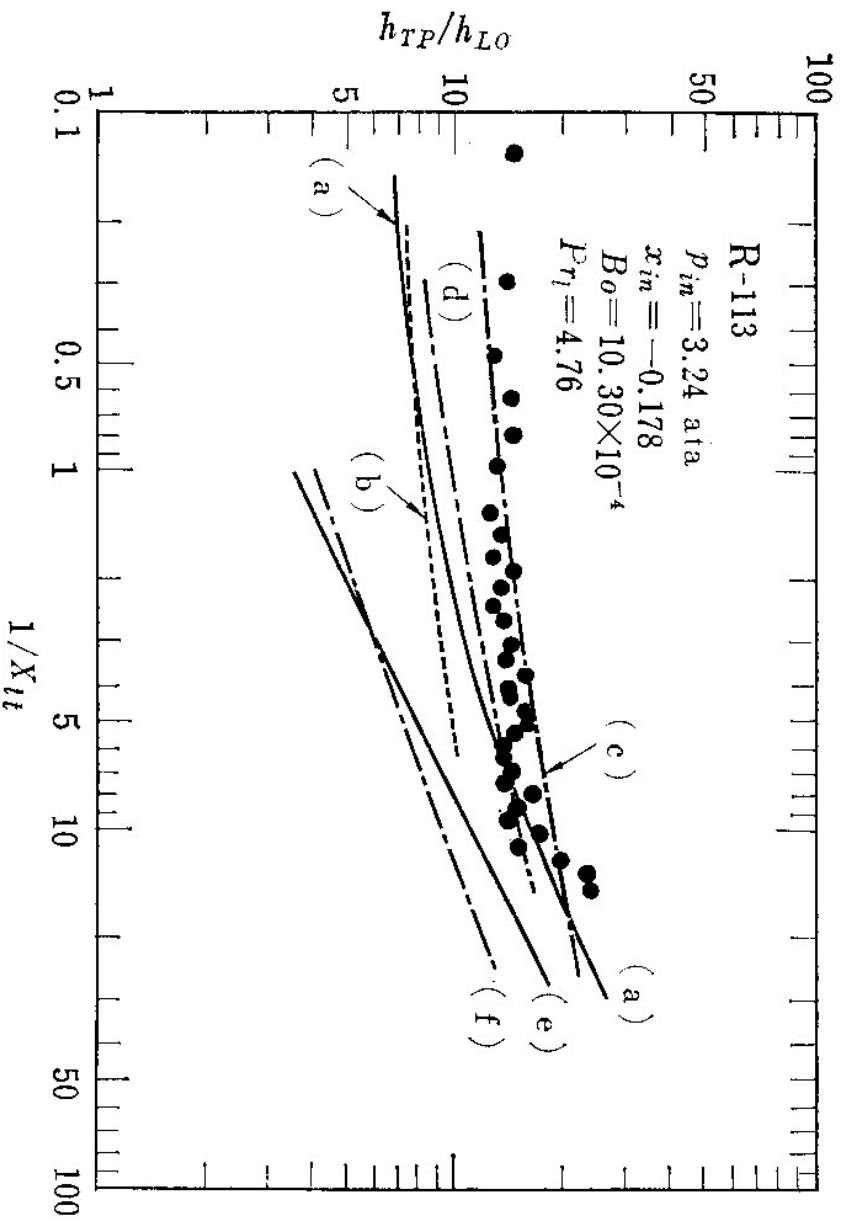
$$\frac{h_{TP}}{h_{L0} \text{ (or } h'_{LZ}, h'_{L0})} = K_1 \left[Bo + K_2 \left(\frac{1}{X_{tt}} \right)^n \right]$$

$$h'_{LZ} = 0.023 \frac{k_1}{D} \left(\frac{G(1-x)D}{\mu_1} \right)^{0.8} \left(\frac{c_{pl}\mu_1}{k_1} \right)^{1/3} \quad h'_{L0} = 0.023 \frac{k_1}{D} \left(\frac{GD}{\mu_1} \right)^{0.8} \left(\frac{c_{pl}\mu_1}{k_1} \right)^{1/3}$$

表 15.2 核沸騰，強制対流蒸発域の熱伝達率相関式

著者	相関式	流体および流路系
SCHROCK-GROSSMAN ¹⁷⁾ (1962)	$\frac{h_{TP}}{h_{L0}'} = 0.739 \left[Bo \times 10^4 + 1.5 \left(\frac{1}{X_{ii}} \right)^{2/3} \right]$	水, $p=3 \sim 35$ ata 管内上昇流
SANT ¹⁸⁾ (1960)	$\frac{h_{TP}}{h_{Lz}'} = 1.48 \left[Bo \times 10^4 + 1.5 \left(\frac{1}{X_{ii}} \right)^{2/3} \right]$	水, $p=1 \sim 2.7$ ata 管内下降流
WRIGHT ¹³⁾ (1961)	$\frac{h_{TP}}{h_{L0}'} = 0.67 \left[Bo \times 10^4 + 3.5 \left(\frac{1}{X_{ii}} \right)^{2/3} \right]$	水, $p=1 \sim 5$ ata 管内下降流
SOMERVILLE ¹⁹⁾ (1962)	$\frac{h_{TP}}{h_{Lz}'} = 2.45 \left[Bo \times 10^4 + 1.5 \left(\frac{1}{X_{ii}} \right)^{2/3} \right]$	n-ペンタゴン, $p=1 \sim 3.5$ ata 管内下降流
PUJOL-STENNING ¹⁶⁾ (1969)	$\frac{h_{TP}}{h_{L0}} = 0.90 \left[Bo \times 10^4 + 4.45 \left(\frac{1}{X_{ii}} \right)^{0.37} \right]$ $\frac{h_{TP}}{h_{L0}} = 0.53 \left[Bo \times 10^4 + 7.75 \left(\frac{1}{X_{ii}} \right)^{0.37} \right]$	R-113 管内上昇流 R-113 管内下降流

ただし, $h_{L0}' = 0.023 \frac{k_1}{D} \left(\frac{GD}{\mu_1} \right)^{0.8} \left(\frac{c_{pl}\mu_1}{k_1} \right)^{1/3}$, $h_{Lz}' = 0.023 \frac{k_1}{D} \left[\frac{G(1-x)D}{\mu_1} \right]^{0.8} \left(\frac{c_{pl}\mu_1}{k_1} \right)^{1/3}$
 また, h_{L0} は式 (15.12)



核沸騰および強制対流蒸発域

- (a) WRIGHT
- (b) SCHROCK & GROSSMAN
- (c) PUJOL & STENNING = $0.90 [Bo \times 10^4 + 4.45(1/X_{it})^{0.37}]$
- (d) PUJOL & STENNING = $0.53 [Bo \times 10^4 + 7.75(1/X_{it})^{0.37}]$
- (e) DENGLER & ADDOMS
- (f) PUJOL & STENNING

図 15.5 熱伝達率相関式の比較

Chenの相関式

飽和沸騰系の熱伝達

核沸騰と強制対流熱伝達の和

$$h_{TP} = h_{CON} + h_{NB}$$

h_{CON} は強制対流の効果、 h_{NB} は核沸騰の効果

液相が単独で流れた場合の单相流の熱伝達係数にパラメータFを乗して与える。

$$h_{CON} = F \times 0.023 \frac{k_1}{D} \left(\frac{G(1-x)D}{\mu_1} \right)^{0.8} \left(\frac{c_{pl}\mu_1}{k_1} \right)^{0.4}$$

FはLockhart-Martinelliパラメータの関数として図により与えられる。

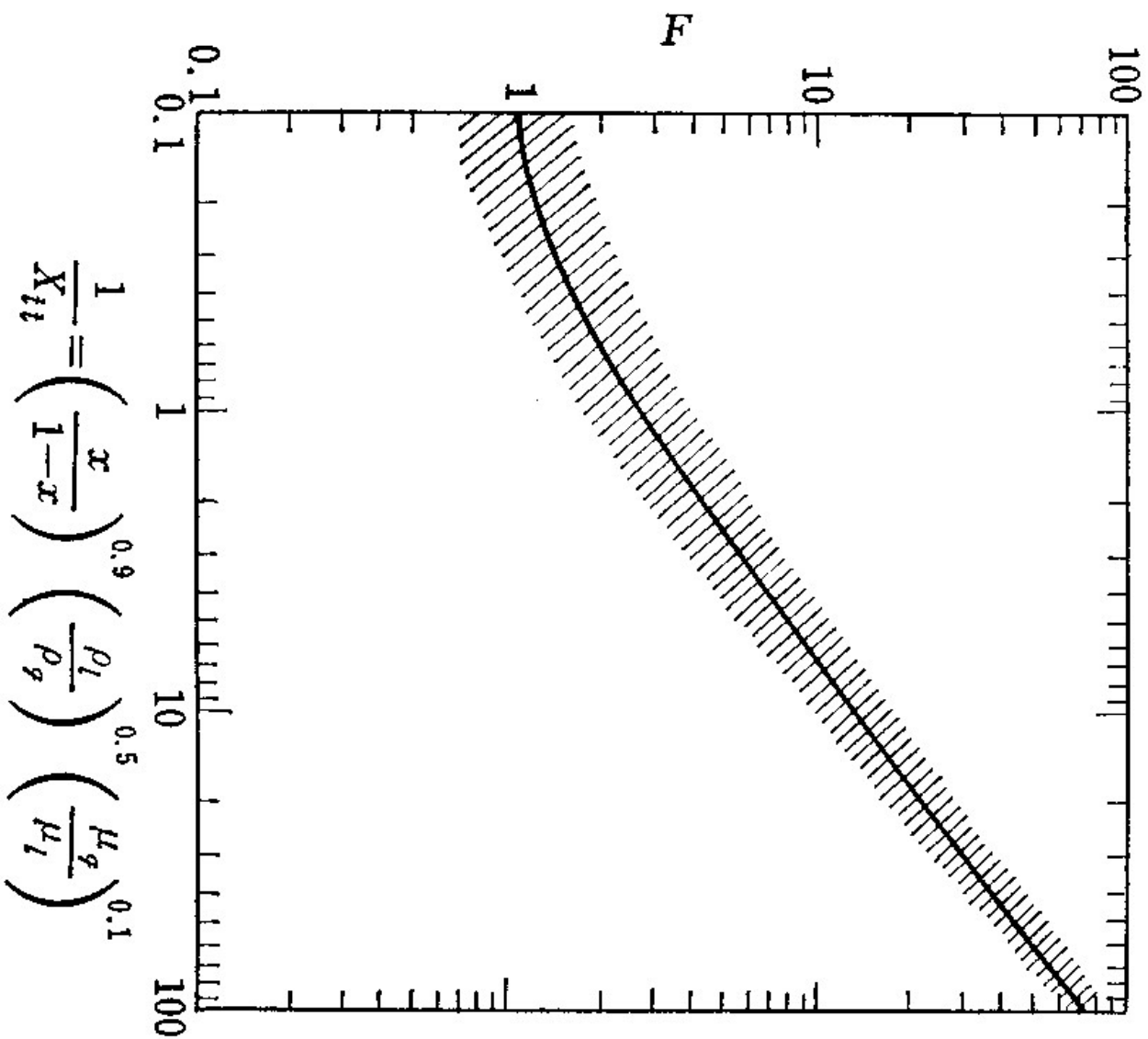


図 15.6 パラメータ F の値 (CHEN)

Chenの相関式

核沸騰熱伝達：プール沸騰熱伝達に基づき
次式で表す

$$h_{NB} = S \times 0.00122 \left[\frac{k_1^{0.79} c_{pl}^{0.45} \rho_1^{0.49}}{\sigma^{0.5} \mu_1^{0.29} H_{fg}^{0.24} \rho_g^{0.24}} \right] (T_w - T_s)^{0.24} \Delta p_s^{0.75}$$

Sの値は二相レイノルズ数

$$Re_{TP} = \left(\frac{G(1-x)D}{\mu_1} \right) F^{1.25}$$

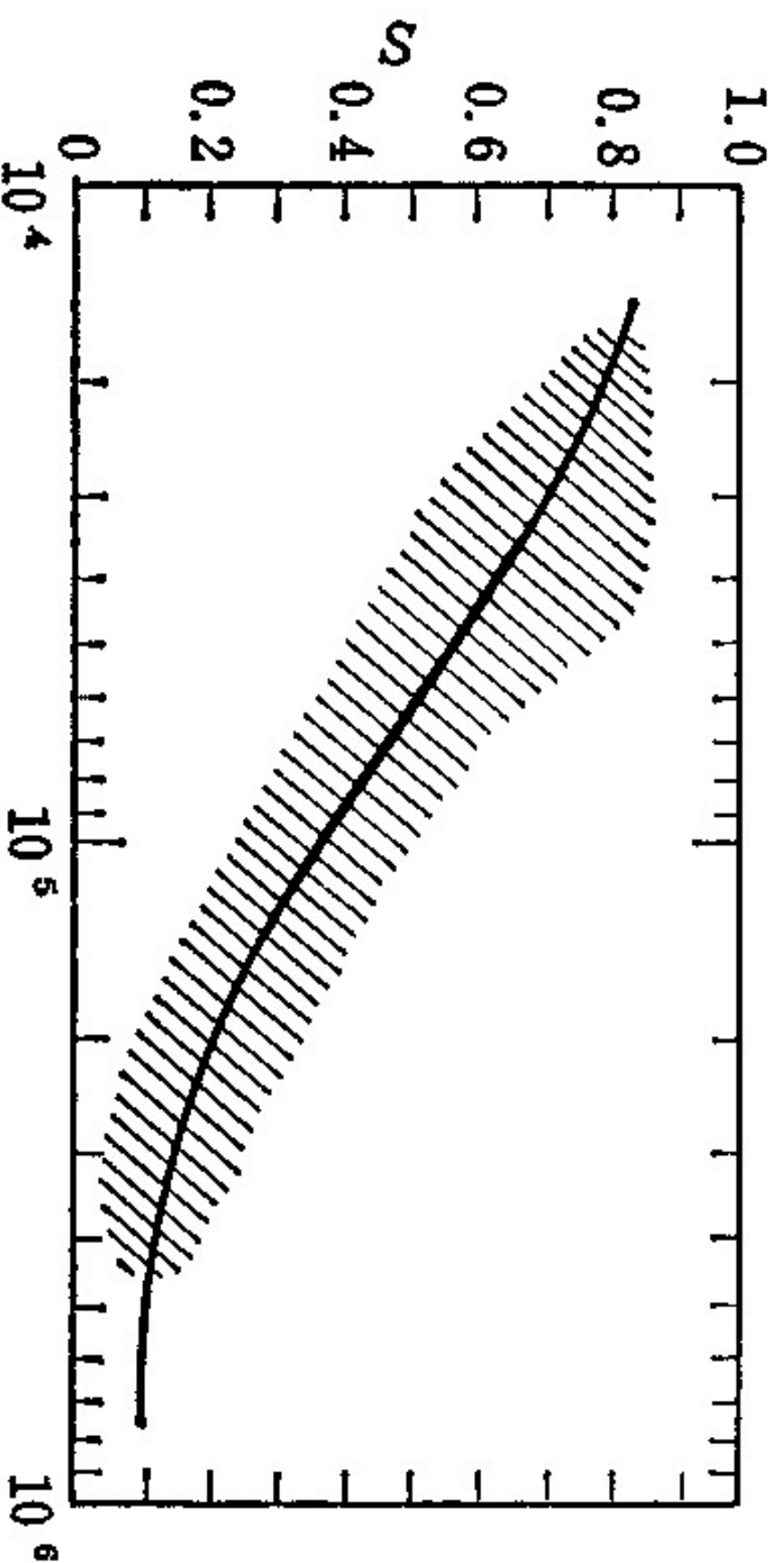
の関数として図で与えられる。

複雑な形であるが、最も精度が良いものとして用いられている。

Foster-Zuberの式

気泡力学を考えた無次元の核沸騰熱伝達
相関式

$$\frac{h_{\text{BO}}}{k_1} \left(\frac{(T_w - T_s) c_{\text{pl}}}{H_{\text{fg}}} \frac{\rho_1}{\rho_v} \sqrt{\pi \frac{k_1}{c_{\text{pl}} \rho_1}} \sqrt{\frac{2\sigma}{\Delta p_s}} \sqrt[4]{\frac{\rho_1}{\Delta p_s}} \right)$$
$$= 0.0015 \left[\frac{\rho_1}{\mu_1} \left(\frac{(T_w - T_s) c_{\text{pl}}}{H_{\text{fg}}} \frac{\rho_1}{\rho_v} \sqrt{\pi \frac{k_1}{c_{\text{pl}} \rho_1}} \right)^2 \right]^{0.62} \left(\frac{\mu_1 c_{\text{pl}}}{k_1} \right)^{0.33}$$



$$Re_{TP} = \left[\frac{GD(1-x)}{\mu_l} \right] F^{1.25}$$

図 15.7 パラメータ S の値 (CHEN)